



Оценка надежности функционирования
метрологической линии на полупроводниковом
производстве

Домашнее задание

Власов Е.Ю.

8 мая 2018 г.

Содержание

1	Введение	1
2	Контроль 1	1
2.1	Схема перевода метрологической линии из работоспособного состояния в неработоспособное	3
2.2	Прямой порядок восстановления	3
2.3	Обратный порядок восстановления	4
2.4	Вывод	5
3	Контроль 2	5
3.1	Основное соединение	7

1 Введение

Как известно, соблюдение норм метрологического контроля необходимо для производства качественной продукции в любой отрасли промышленности. Чем меньше допуск - тем больше должна быть разрешающая способность и точность метрологического оборудования.

В качестве примера предлагается рассмотрению линия метрологического контроля полупроводникового производства MAPPER LLC : контроль после проведения процесса термического оксидирования, а также процедура проведения контроля качества процесса контактной литографии (см. рис. 1).



Рис. 1: Структура и этапы проведения контроля

2 Контроль 1

Процедура метрологического контроля состоит в проверке равномерности нанесенного оксида кремния на поверхность кремниевой подложки. Данное измерение может быть проведено с помощью двух взаимозаменяемых приборов, которые на схеме ниже (см. рис. 2) условно обозначены как Filmetrics и Ellipsometer. (смысл и назначение ясно из названий, вид приборов приведен на рис. 4 и рис. 3) .

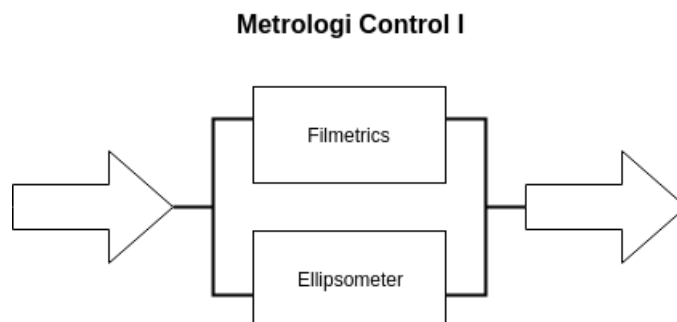


Рис. 2: Структурная схема 1 контроля

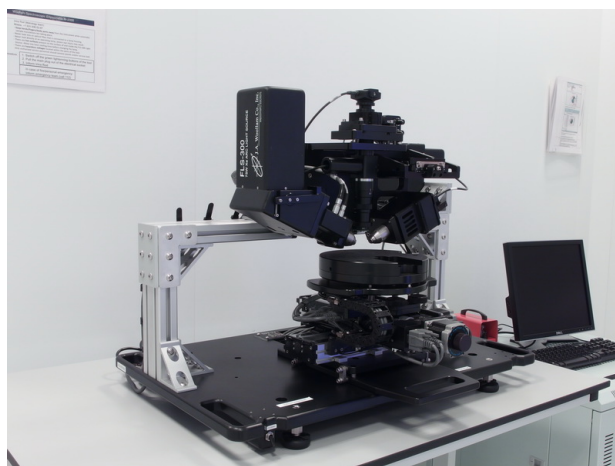


Рис. 3: Эллипсометер

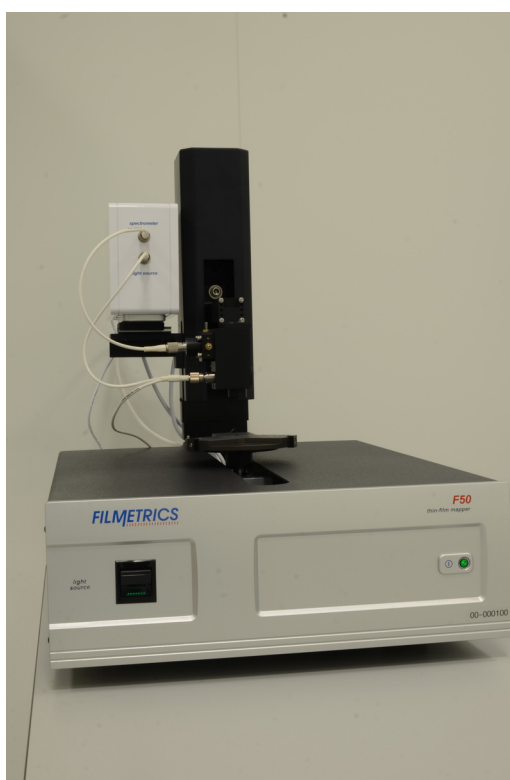


Рис. 4: Прибор для измерения толщины пластин и покрытий (filmmetrics)

На основе данных о количестве ремонтов оборудования за год и переводов в статус высокого загрязнения (что также будем относить к неработоспособному состоянию) вычислим параметры интенсивности

отказов и восстановления, затем на основе построенных графов, описывающих дублированную систему, вычислим коэффициент готовности при прямом порядке восстановления и обратном.

2.1 Схема перевода метрологической линии из работоспособного состояния в неработоспособное

Будем рассматривать ординарный поток, значит прямого перехода из работоспособного состояния в неработоспособное у данной системы нет. (см. рис. 5).

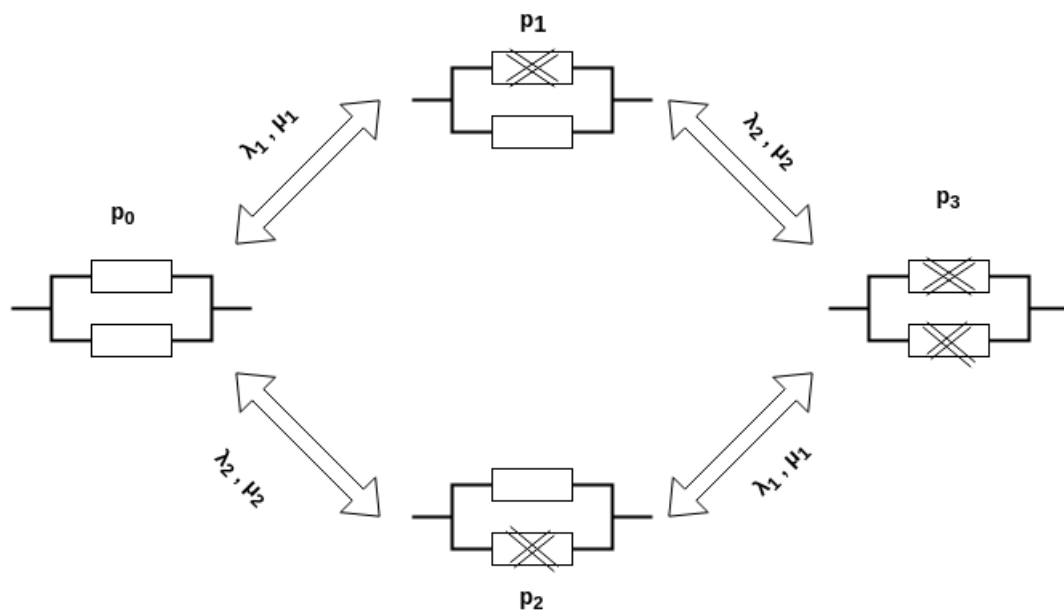


Рис. 5: Граф

2.2 Прямой порядок восстановления

При прямом порядке восстановления начинают с элемента, отказавшего первым. Наглядно это может быть представлено как на рис. 6.

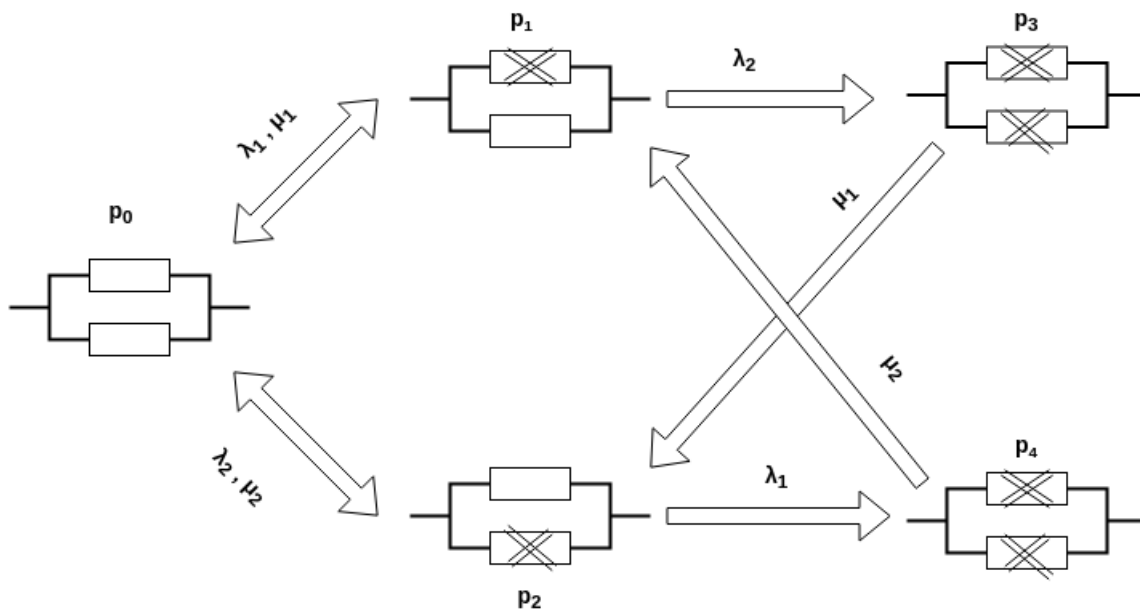


Рис. 6: Прямой порядок восстановления

2.3 Обратный порядок восстановления

При обратном порядке - первым восстановлению подлежит элемент, отказавшим последним. Схема на рис.

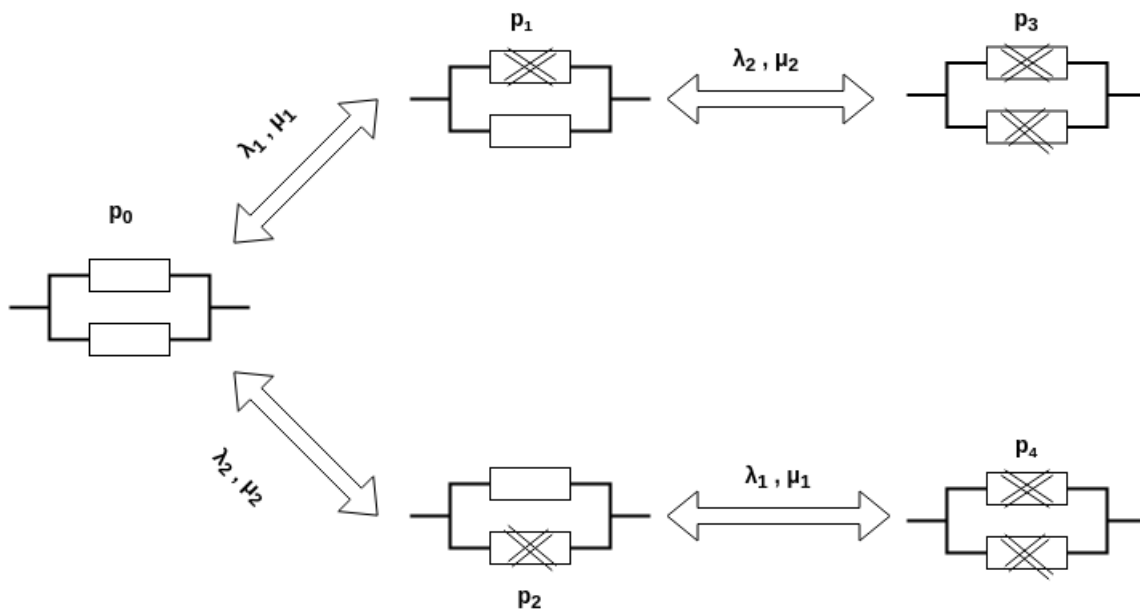


Рис. 7: Обратный порядок восстановления

2.4 Вывод

Исходя из сложности обслуживания оборудования и квалификации ремонтных бригад можно оценить коэффициент готовности метрологической систем. Результаты расчета приведены в приложении к отчету. Стоит заметить, что при восстановлении системы, где первый элемент восстановить сложнее, но отказывает он реже, более предпочтительным является обратный порядок восстановления, что подтверждается расчетом в приложении. Подбирая более квалифицированные и опытные бригады можно добиться достаточно высокого значения коэффициента готовности оборудования.

3 Контроль 2

Процедура контроля качества процесса литографии выглядит как показано на рис. 8. Оборудование показано на рис. и рис.

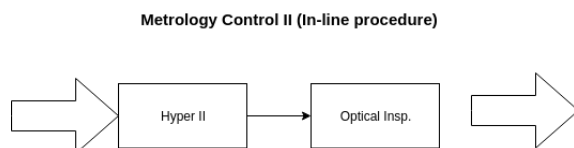


Рис. 8: Структурная схема 2 контроля



Рис. 9: Интерферометр для измерения эллиптичности и изгиба пластин



Рис. 10: Оптический микроскоп

3.1 Основное соединение

Представим данный процесс в виде основного соединения и рассмотрим, как влияет интенсивность отказов первой установки, второй и сложности их восстановления на коэффициент готовности.

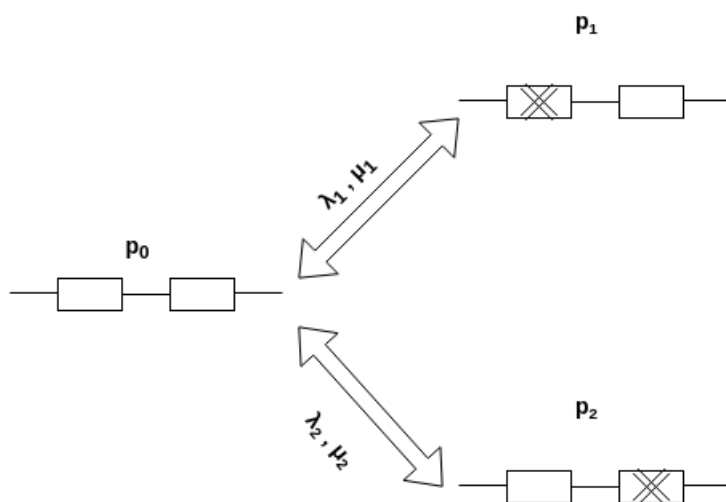


Рис. 11: Граф

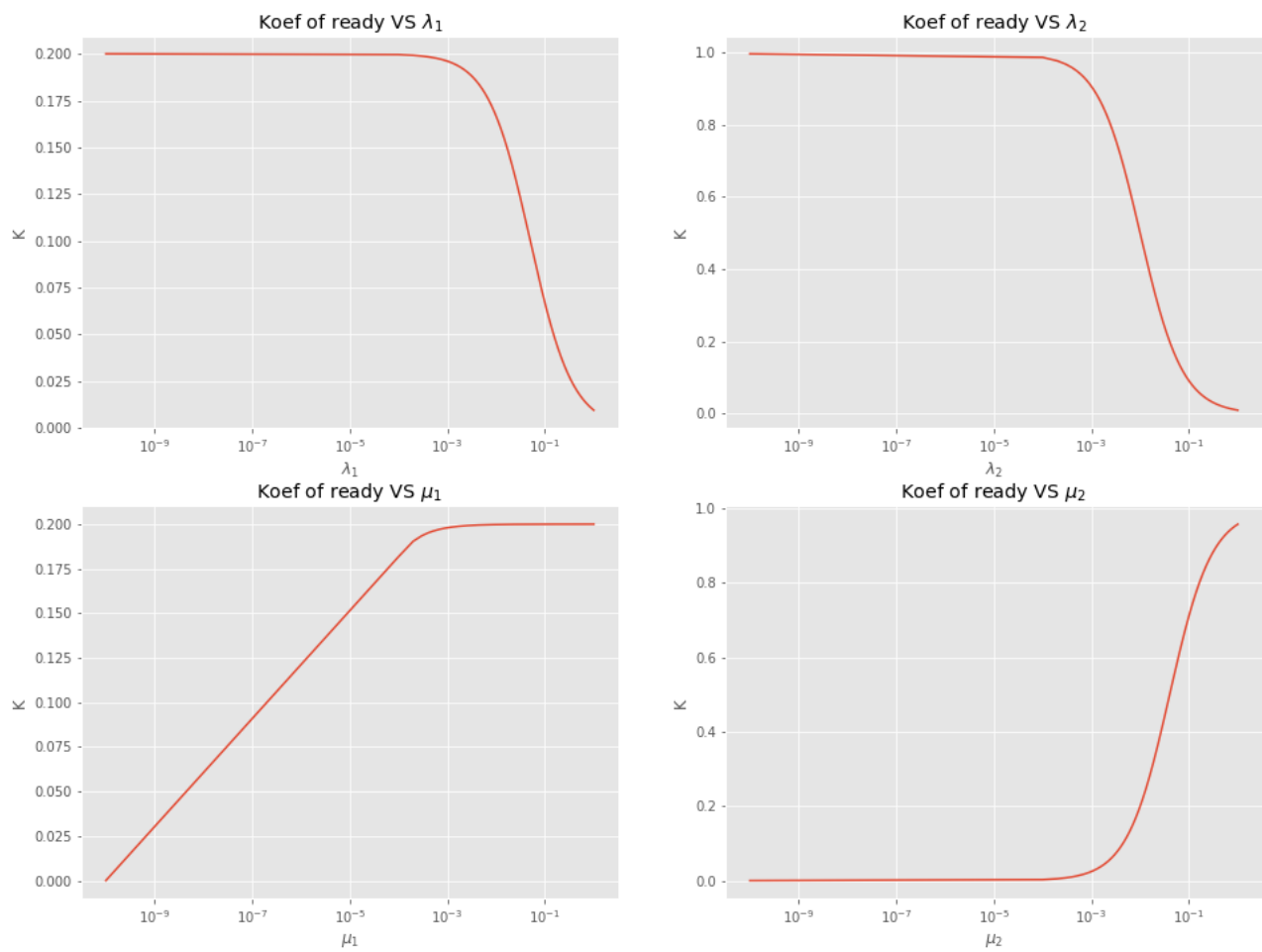


Рис. 12: Влияние интенсивности отказов и восстановлений на коэффициент готовности системы

```

clear all;
clc;

mu1 = 0.5*10^(-2);
mu2 = 2.5*10^(-4);
lambda1 = 50*10^(-6);
lambda2 = 35*10^(-3);

p2 = mu2*mu1*(lambda1+lambda2+mu1)*lambda2/
(lambda1^2*lambda2*mu1+lambda1^2*lambda2*mu2+lambda1^2*mu1*mu2+lambda1*lambda2^2*mu1+lambda1*lambda2^2*mu2+lambda1*lambda2^2*mu1*mu2);
p1 = mu1*(lambda1*mu2+lambda2*mu2+mu2^2)*lambda1/
(lambda1^2*lambda2*mu1+lambda1^2*lambda2*mu2+lambda1^2*mu1*mu2+lambda1*lambda2^2*mu1+lambda1*lambda2^2*mu2+lambda1*lambda2^2*mu1*mu2);
p0 = mu1*mu2*(lambda1*mu1+lambda2*mu2+mu1*mu2)/
(lambda1^2*lambda2*mu1+lambda1^2*lambda2*mu2+lambda1^2*mu1*mu2+lambda1*lambda2^2*mu1+lambda1*lambda2^2*mu2+lambda1*lambda2^2*mu1*mu2);

Kg = p2+p1+p0;
fprintf('direct recovery order: %f\n',Kg);

p0_back = 1/ (1+lambda1/mu1 + lambda2/mu2 + 2*lambda1*lambda2/
(mu1*mu2));
p1_back = lambda1/mu1*p0_back;
p2_back = lambda2/mu2*p0_back;
Kg_back = p0_back +p1_back + p2_back;
fprintf('reverse recovery order: %f\n',Kg_back);

direct recovery order: 0.828473
reverse recovery order: 0.980530

```

Published with MATLAB® R2016a

$$\begin{aligned}
 & \text{>} \\
 & A := \text{Matrix} \left(\left(\left[\begin{array}{ccc} -(\lambda 1 + \lambda 2), & \frac{\mu 1^2}{\lambda 2}, & \frac{\mu 2^2}{\lambda 1} \end{array} \right], \left[\lambda 1, -\frac{\mu 1 \cdot (\lambda 2 + \mu 1)}{\lambda 2}, \mu 2 \right], \left[1, 1 + \frac{\mu 1}{\lambda 2}, 1 + \frac{\mu 2}{\lambda 1} \right] \right) \right) \\
 & A := \begin{bmatrix} -\lambda 1 - \lambda 2 & \frac{\mu 1^2}{\lambda 2} & \frac{\mu 2^2}{\lambda 1} \\ \lambda 1 & -\frac{\mu 1 (\lambda 2 + \mu 1)}{\lambda 2} & \mu 2 \\ 1 & 1 + \frac{\mu 1}{\lambda 2} & 1 + \frac{\mu 2}{\lambda 1} \end{bmatrix} \quad (1)
 \end{aligned}$$

$$\begin{aligned}
 & \text{> } \text{Det}(A) \\
 & \text{Det} \left(\begin{bmatrix} -\lambda 1 - \lambda 2 & \frac{\mu 1^2}{\lambda 2} & \frac{\mu 2^2}{\lambda 1} \\ \lambda 1 & -\frac{\mu 1 (\lambda 2 + \mu 1)}{\lambda 2} & \mu 2 \\ 1 & 1 + \frac{\mu 1}{\lambda 2} & 1 + \frac{\mu 2}{\lambda 1} \end{bmatrix} \right) \quad (2)
 \end{aligned}$$

$$\begin{aligned}
 & \text{> } \text{det}(A) \\
 & \text{det} \left(\begin{bmatrix} -\lambda 1 - \lambda 2 & \frac{\mu 1^2}{\lambda 2} & \frac{\mu 2^2}{\lambda 1} \\ \lambda 1 & -\frac{\mu 1 (\lambda 2 + \mu 1)}{\lambda 2} & \mu 2 \\ 1 & 1 + \frac{\mu 1}{\lambda 2} & 1 + \frac{\mu 2}{\lambda 1} \end{bmatrix} \right) \quad (3)
 \end{aligned}$$

$$\begin{aligned}
 & \text{> } \text{simplify}(\%) \\
 & \text{det} \left(\begin{bmatrix} -\lambda 1 - \lambda 2 & \frac{\mu 1^2}{\lambda 2} & \frac{\mu 2^2}{\lambda 1} \\ \lambda 1 & -\frac{\mu 1 (\lambda 2 + \mu 1)}{\lambda 2} & \mu 2 \\ 1 & \frac{\lambda 2 + \mu 1}{\lambda 2} & \frac{\lambda 1 + \mu 2}{\lambda 1} \end{bmatrix} \right) \quad (4)
 \end{aligned}$$

$$\text{> } \text{DET_BASE} := \text{linalg}[\text{det}](A);$$

$$DET_BASE := \frac{1}{\lambda 2 \lambda 1} (\lambda 1^2 \lambda 2 \mu 1 + \lambda 1^2 \lambda 2 \mu 2 + \lambda 1^2 \mu 1 \mu 2 + \lambda 1 \lambda 2^2 \mu 1 + \lambda 1 \lambda 2^2 \mu 2 + \lambda 1 \lambda 2 \mu 1^2 + 2 \lambda 1 \lambda 2 \mu 1 \mu 2 + \lambda 1 \lambda 2 \mu 2^2 + \lambda 1 \mu 1^2 \mu 2 + \lambda 1 \mu 1 \mu 2^2 + \lambda 2^2 \mu 1 \mu 2 + \lambda 2 \mu 1^2 \mu 2 + \lambda 2 \mu 1 \mu 2^2 + \mu 1^2 \mu 2^2) \quad (5)$$

$$\begin{aligned} &> A_1 := Matrix\left(\left[\left[0, \frac{\mu 1^2}{\lambda 2}, \frac{\mu 2^2}{\lambda 1}\right], \left[0, -\frac{\mu 1 \cdot (\lambda 2 + \mu 1)}{\lambda 2}, \mu 2\right], \left[1, 1 + \frac{\mu 1}{\lambda 2}, 1 + \frac{\mu 2}{\lambda 1}\right]\right]\right) \\ &A_1 := \begin{bmatrix} 0 & \frac{\mu 1^2}{\lambda 2} & \frac{\mu 2^2}{\lambda 1} \\ 0 & -\frac{\mu 1 (\lambda 2 + \mu 1)}{\lambda 2} & \mu 2 \\ 1 & 1 + \frac{\mu 1}{\lambda 2} & 1 + \frac{\mu 2}{\lambda 1} \end{bmatrix} \end{aligned} \quad (6)$$

$$\begin{aligned} &> P0 := \frac{linalg[det](A_1)}{DET_BASE} \\ P0 &:= (\mu 1 \mu 2 (\lambda 1 \mu 1 + \lambda 2 \mu 2 + \mu 1 \mu 2)) / (\lambda 1^2 \lambda 2 \mu 1 + \lambda 1^2 \lambda 2 \mu 2 + \lambda 1^2 \mu 1 \mu 2 + \lambda 1 \lambda 2^2 \mu 1 + \lambda 1 \lambda 2^2 \mu 2 + \lambda 1 \lambda 2 \mu 1^2 + 2 \lambda 1 \lambda 2 \mu 1 \mu 2 + \lambda 1 \lambda 2 \mu 2^2 + \lambda 1 \mu 1^2 \mu 2 + \lambda 1 \mu 1 \mu 2^2 + \lambda 2^2 \mu 1 \mu 2 + \lambda 2 \mu 1^2 \mu 2 + \lambda 2 \mu 1 \mu 2^2 + \mu 1^2 \mu 2^2) \end{aligned} \quad (7)$$

$$\begin{aligned} &> A_3 := Matrix\left(\left[\left[-(\lambda 1 + \lambda 2), 0, \frac{\mu 2^2}{\lambda 1}\right], [\lambda 1, 0, \mu 2], \left[1, 1, 1 + \frac{\mu 2}{\lambda 1}\right]\right]\right) \\ A_3 &:= \begin{bmatrix} -\lambda 1 - \lambda 2 & 0 & \frac{\mu 2^2}{\lambda 1} \\ \lambda 1 & 0 & \mu 2 \\ 1 & 1 & 1 + \frac{\mu 2}{\lambda 1} \end{bmatrix} \end{aligned} \quad (8)$$

$$\begin{aligned} &> P3 := \frac{linalg[det](A_3)}{DET_BASE} \\ P3 &:= ((\lambda 1 \mu 2 + \lambda 2 \mu 2 + \mu 2^2) \lambda 2 \lambda 1) / (\lambda 1^2 \lambda 2 \mu 1 + \lambda 1^2 \lambda 2 \mu 2 + \lambda 1^2 \mu 1 \mu 2 + \lambda 1 \lambda 2^2 \mu 1 + \lambda 1 \lambda 2^2 \mu 2 + \lambda 1 \lambda 2 \mu 1^2 + 2 \lambda 1 \lambda 2 \mu 1 \mu 2 + \lambda 1 \lambda 2 \mu 2^2 + \lambda 1 \mu 1^2 \mu 2 + \lambda 1 \mu 1 \mu 2^2 + \lambda 2^2 \mu 1 \mu 2 + \lambda 2 \mu 1^2 \mu 2 + \lambda 2 \mu 1 \mu 2^2 + \mu 1^2 \mu 2^2) \end{aligned} \quad (9)$$

$$\begin{aligned} &> P1 := \frac{\mu 1}{\lambda 2} \cdot P3 \\ P1 &:= (\mu 1 (\lambda 1 \mu 2 + \lambda 2 \mu 2 + \mu 2^2) \lambda 1) / (\lambda 1^2 \lambda 2 \mu 1 + \lambda 1^2 \lambda 2 \mu 2 + \lambda 1^2 \mu 1 \mu 2 + \lambda 1 \lambda 2^2 \mu 1 + \lambda 1 \lambda 2^2 \mu 2 + \lambda 1 \lambda 2 \mu 1^2 + 2 \lambda 1 \lambda 2 \mu 1 \mu 2 + \lambda 1 \lambda 2 \mu 2^2 + \lambda 1 \mu 1^2 \mu 2 + \lambda 1 \mu 1 \mu 2^2 + \lambda 2^2 \mu 1 \mu 2 + \lambda 2 \mu 1^2 \mu 2 + \lambda 2 \mu 1 \mu 2^2 + \mu 1^2 \mu 2^2) \end{aligned} \quad (10)$$

$$\begin{aligned}
& + \lambda^2 \mu_1 \mu_2 + \lambda^2 \mu_1^2 \mu_2 + \lambda^2 \mu_1 \mu_2^2 + \mu_1^2 \mu_2^2) \\
> A_4 := \text{Matrix}\left(\left[\left[\left[-(\lambda_1 + \lambda_2), \frac{\mu_1^2}{\lambda_2}, 0\right], \left[\lambda_1, -\frac{\mu_1 \cdot (\lambda_2 + \mu_1)}{\lambda_2}, 0\right], \left[1, 1 + \frac{\mu_1}{\lambda_2}, 1\right]\right]\right]\right) \\
& A_4 := \begin{bmatrix} -\lambda_1 - \lambda_2 & \frac{\mu_1^2}{\lambda_2} & 0 \\ \lambda_1 & -\frac{\mu_1 (\lambda_2 + \mu_1)}{\lambda_2} & 0 \\ 1 & 1 + \frac{\mu_1}{\lambda_2} & 1 \end{bmatrix} \tag{11}
\end{aligned}$$

$$\begin{aligned}
> P4 &:= \frac{\text{linalg}[det](A_4)}{DET_BASE} \\
P4 &:= (\mu_1 (\lambda_1 + \lambda_2 + \mu_1) \lambda_2 \lambda_1) / (\lambda_1^2 \lambda_2 \mu_1 + \lambda_1^2 \lambda_2 \mu_2 + \lambda_1^2 \mu_1 \mu_2 + \lambda_1 \lambda_2^2 \mu_1 \\
& + \lambda_1 \lambda_2^2 \mu_2 + \lambda_1 \lambda_2 \mu_1^2 + 2 \lambda_1 \lambda_2 \mu_1 \mu_2 + \lambda_1 \lambda_2 \mu_2^2 + \lambda_1 \mu_1^2 \mu_2 + \lambda_1 \mu_1 \mu_2^2 \\
& + \lambda_2^2 \mu_1 \mu_2 + \lambda_2 \mu_1^2 \mu_2 + \lambda_2 \mu_1 \mu_2^2 + \mu_1^2 \mu_2^2) \tag{12}
\end{aligned}$$

$$\begin{aligned}
> P2 &:= \frac{\mu_2}{\lambda_1} \cdot P4 \\
P2 &:= (\mu_2 \mu_1 (\lambda_1 + \lambda_2 + \mu_1) \lambda_2) / (\lambda_1^2 \lambda_2 \mu_1 + \lambda_1^2 \lambda_2 \mu_2 + \lambda_1^2 \mu_1 \mu_2 + \lambda_1 \lambda_2^2 \mu_1 \\
& + \lambda_1 \lambda_2^2 \mu_2 + \lambda_1 \lambda_2 \mu_1^2 + 2 \lambda_1 \lambda_2 \mu_1 \mu_2 + \lambda_1 \lambda_2 \mu_2^2 + \lambda_1 \mu_1^2 \mu_2 + \lambda_1 \mu_1 \mu_2^2 \\
& + \lambda_2^2 \mu_1 \mu_2 + \lambda_2 \mu_1^2 \mu_2 + \lambda_2 \mu_1 \mu_2^2 + \mu_1^2 \mu_2^2) \tag{13}
\end{aligned}$$